

## PROGRAMA PARA OBTENER TABLAS DE VALORES DE PENDIENTE DEL TERRENO USANDO MAPAS TOPOGRÁFICOS

Por *Alberto López Santoyo*.\*

### RESUMEN

La pendiente media entre dos puntos del terreno puede calcularse a partir de la separación que presentan las curvas de nivel en los mapas topográficos. El programa PENDIENTES, elaborado por el autor en lenguaje FORTRAN, imprime una serie de tablas con valores de pendiente, para usarse con los mapas topográficos que se deseé. Se anexa una serie de tablas para utilizarse con los mapas topográficos más usuales en México.

### SUMMARY

The slope gradient between two given points on the terrain can be obtained by means of the distance between contour lines on topographic maps. The program PENDIENTES, written in FORTRAN by the author, produces a set of tables, having values of slope gradient, to be used with topographic maps. A set of such tables is included to be used with the topographic maps available in Mexico.

La superficie del terreno presenta, en general, gran diversidad de valores de pendiente o inclinación, que afecta a todo cuerpo estático o en movimiento que se encuentra sobre el relieve. En los campos de la geografía y ciencias afines, el conocimiento de los valores de pendiente tiene aplicación muy amplia. Pueden citarse, por ejemplo, los estudios que se realizan sobre: el comportamiento de vientos superficiales; los cambios de velocidad en las corrientes fluviales; los procesos de remoción en masa, tanto de flujo lento como de flujo rápido; la clasificación de tierras en razón de su pendiente; los problemas del uso actual y uso potencial del suelo; las prácticas de con-

servación de suelos y aguas; el trazo de caminos; la construcción de obras de ingeniería, etc.

En los mapas topográficos se representa el relieve del terreno por medio de isolíneas llamadas curvas de nivel. Cada una de estas líneas es el lugar geométrico de los puntos que tienen la misma altitud.

Es fácil observar que las curvas de nivel se presentan con diferentes densidades o con diferentes separaciones, y es bien conocido que, a mayor densidad corresponde mayor pendiente o inclinación del terreno y, por tanto, a mayor separación o menor densidad corresponden valores más bajos de la pendiente.

Se puede calcular la pendiente media del terreno entre dos puntos cualesquiera si se mide en un mapa la distancia entre los puntos correspondientes y se obtiene el desnivel entre

\* Investigador del Instituto de Geografía de la UNAM.

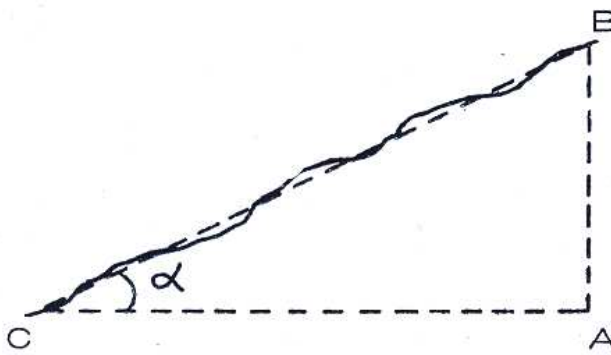


FIG. 1. Relación entre la pendiente media, con la distancia y el desnivel entre dos puntos del terreno.

los puntos reales por medio de las curvas de nivel.

Sean B y C, en la figura 1, dos puntos del terreno de altitud conocida o calculable. El desnivel entre los dos puntos está representado por la distancia  $\overline{BA}$ , siendo el punto A la proyección del punto B sobre el plano horizontal que pasa por C.

En el triángulo rectángulo ABC, el ángulo  $\alpha$  representa la pendiente media entre los puntos B y C. Dicha pendiente se calcula por medio de la función tangente:

$$1) \quad \operatorname{tg} \alpha = \frac{\overline{BA}}{\overline{CA}}$$

Sean b y c, en un mapa, los puntos correspondientes de B y C respectivamente. Por definición de escala se tiene:

$$2) \quad \frac{1}{E} = \frac{\overline{bc}}{\overline{CA}} \quad \text{donde } 1/E \text{ es la escala del mapa.}$$

Despejando en 2) la distancia  $\overline{CA}$  y sustituyendo en 1):

$$3) \quad \operatorname{tg} \alpha = \frac{\overline{BA}}{E(\overline{bc})}$$

Si se toman dos puntos b y c sobre dos curvas de nivel consecutivas y se denota por H la equidistancia vertical entre curvas de nivel y por S la separación entre sí de los puntos b y c, se obtiene:

$$\operatorname{tg} \alpha = \frac{H}{ES}$$

$$\therefore 4) \quad \alpha = \operatorname{tg}^{-1} \frac{H}{ES}$$

Si el cociente  $H/E$  se mantiene constante aunque cambien independientemente los valores de H y E, se obtienen valores iguales de pendiente para un mismo valor de S. Por comodidad se considerará el cociente inverso  $E/H$  que, obviamente, también se mantiene constante en las condiciones mencionadas.

El programa PENDIENTES fue elaborado por el autor en lenguaje FORTRAN y produce una serie de tablas con valores teóricos de inclinación del terreno, para usarse con mapas topográficos donde el relieve está definido por curvas de nivel. Para tal fin se toman diferentes valores de la variable S en la fórmula 4), de la manera que más adelante se describe, y se obtienen valores tabulados de  $\alpha$  para cada par de valores E y H correspondientes a los mapas con que se trabaja. El programa puede producir teóricamente un número ilimitado de tablas y sólo requiere ser alimentado con los datos de escala y equidistancia vertical de curvas de nivel de los mapas.

Los parámetros y variables utilizados son los siguientes:

E: denominador de la escala del mapa.  
H: equidistancia vertical de curvas de nivel, en metros.

S: separación en milímetros, entre dos puntos tomados sobre curvas de nivel consecutivas.

P =  $\alpha$ : pendiente teórica del terreno, en grados, minutos y segundos sexagesimales. A continuación se da también su equivalente en tanto por ciento.

Debido a que la variación de la pendiente no es uniforme en relación con la variación de separación entre curvas de nivel, pues cambia más lentamente a medida que dicha separación aumenta, los valores de S se dan con

incrementos muy pequeños al principio, y éstos van aumentándose a medida que se prosigue. Así, desde 0.1 los valores de S se dan cada décimo de milímetro hasta 8.5. A partir de 8.5 los valores de S continúan cada medio milímetro hasta 50.0. Desde este último la variación prosigue cada milímetro hasta 134. A partir del valor 130 prosigue cada 10 milímetros, hasta el valor 970. Estos intervalos son un tanto arbitrarios y se eligieron por la razón expuesta al principio del párrafo y por conveniencia en el formato de impresión.\* Cualquier cambio en los intervalos requiere sólo una pequeña modificación en el programa. De esta manera es posible determinar fácilmente la pendiente, para cualquier separación o cualquier distancia que se tome sobre curvas de nivel consecutivas.

El porgrama PENDIENTES fue probado y procesado en el Centro de Servicios de Cómputo de la Universidad Nacional Autónoma de México. En el ejemplo que se anexa, de las tablas que se obtienen, se aprovechó directamente la impresión hecha por las máquinas electrónicas. Dichas tablas sirven para usarse con los mapas de las escalas y equidistancias de curvas de nivel siguientes:

- A) 1: 50 000 H = 10 m (E/H = 5 000)
- B) 1: 50 000 H = 20 m (E/H = 2 500)
- C) 1:100 000 H = 50 m (E/H = 2 000)

Anteriormente se había demostrado que el valor de la pendiente no cambia si el cociente E/H se mantiene constante para un mismo valor de S. Por tanto, las tablas para la escala 1:50 000 y H = 20 m pueden también usarse para los mapas de las escalas y equidistancias de curvas de nivel siguientes:

- D) 1: 25 000 H = 10 m (E/H = 2 500)
- E) 1:500 000 H = 200 m (E/H = 2 500)

Visto de otra manera, si se calculan tablas de valores de pendiente para mapas de los casos D) y E), resultan idénticas entre sí e idénticas a las que se obtienen para mapas del caso B), porque en todos ellos el cociente

\* Existen en el Instituto de Geografía de la UNAM, a disposición de las personas interesadas, tablas detalladas obtenidas con el programa.

E/H se mantiene constante (2 500). De aquí que, si se tiene un mapa donde el cociente E/H resulte igual a alguno de los valores 5 000, 2 500, 2 000, pueden usarse las tablas correspondientes.

En la determinación de la pendiente haciendo uso de las tablas, es necesario que se elijan dos puntos sobre curvas de nivel consecutivas, sin importar su situación sobre las mismas, para obtener directamente la pendiente media entre ellos. Si se desea obtener la inclinación del terreno sobre la línea de máxima pendiente a partir de un punto elegido sobre una curva de nivel, hacia cualquiera de las dos curvas adyacentes, deberá tomarse la separación con esta última; es decir, la distancia mínima del punto en cuestión a la siguiente curva de nivel elegida. Más adelante se describe cómo obtener la pendiente entre dos puntos cualesquiera.

Ejemplo para el uso de las tablas.

Supóngase que se trabaja con un mapa topográfico a escala 1:50 000, con equidistancia vertical de curvas de nivel de 20 metros, y se desea obtener el valor de la pendiente del terreno donde la separación o cualquier distancia entre dos curvas de nivel consecutivas es de 8.3 mm. Se busca el valor 8.3 en la columna S, en las tablas encabezadas con la escala y equidistancia de curvas de nivel correspondiente; es decir, 1:50 000 H = 20 m. En seguida del valor 8.3 se lee en la columna P el valor 2 45 32 y después el valor 4.819 en la columna de %. Es decir, que al valor de S de 8.3 milímetros corresponde una pendiente de  $2^{\circ}45'32''$  que equivale (en tanto por ciento) a 4 metros 819 milímetros de distancia vertical, por 100 metros de distancia horizontal.

En el caso de que se desee obtener la pendiente media entre dos puntos cualesquiera, basta hacer un sencillo cálculo para determinar el valor correspondiente de S con el cual entrar a las tablas. Para ello se divide la distancia  $\overline{ab}$  (tomada en milímetros) que hay en el mapa, de un punto al otro, entre el número de intervalos de curvas de nivel que corresponde (generalmente fraccionario). Esto último se obtiene dividiendo el desnivel entre los dos puntos ( $\Delta H$ ) entre la equidistancia de curvas de nivel del mapa (H). Para no efectuar dos divisiones se propone hacer la operación en la forma siguiente:

$$5) S = \frac{\overline{ab} (H)}{\Delta H}$$

Ejemplo:

Supóngase que la distancia entre dos puntos a y b es de 112.3 milímetros, en un mapa a escala 1:100 000 con equidistancia de curvas de nivel de 50 metros, y que las altitudes de los dos puntos, obtenidas por interpolaciones, son: 1 735 y 1 580 metros respectivamente. Es decir, que se tiene:

$$\overline{ab} = 112.3 \text{ mm}$$

$$\Delta H = 1\ 735 - 1\ 580 = 155 \text{ m}$$

$$H = 50 \text{ m}$$

Sustituyendo estos valores en la fórmula 5):

$$S = \frac{112.3 \times 50}{155} = 36.2$$

Con este valor de S se entra en las tablas encabezadas 1:100 000 H = 50 m. Los valores más próximos que se encuentran para S son

36.0 y 36.5. Las pendientes correspondientes a estos valores son respectivamente,  $0^{\circ}47'44''$ , equivalente a 1.389%, y  $0^{\circ}47'05''$  equivalente a 1.370%. Interpolando entre estos dos valores se obtiene la pendiente buscada, que es de  $0^{\circ}47'28''$ , y su equivalente en tanto por ciento, de 1.381. Con fines prácticos basta tomar el valor  $0^{\circ}47'$  que es común a los dos valores encontrados en la tabla. De este modo no es necesario efectuar ninguna interpolación, y lo mismo se hace con el equivalente en tanto por ciento, que en este caso es 1.38, aproximando al más cercano.

El programa PENDIENTES abre la posibilidad de obtener rápidamente tablas más detalladas para las mismas escalas y equidistancias de curvas de nivel que las tablas anexas, o para obtener otras en las que el cociente E/H sea diferente.

La estructura del programa consta de una primera parte que forma las series de valores de S correspondientes a los intervalos elegidos y de una subrutina que calcula las pendientes para cada intervalo, e imprime la tabla correspondiente. El diagrama de flujo simplificado aparece en la figura 2.

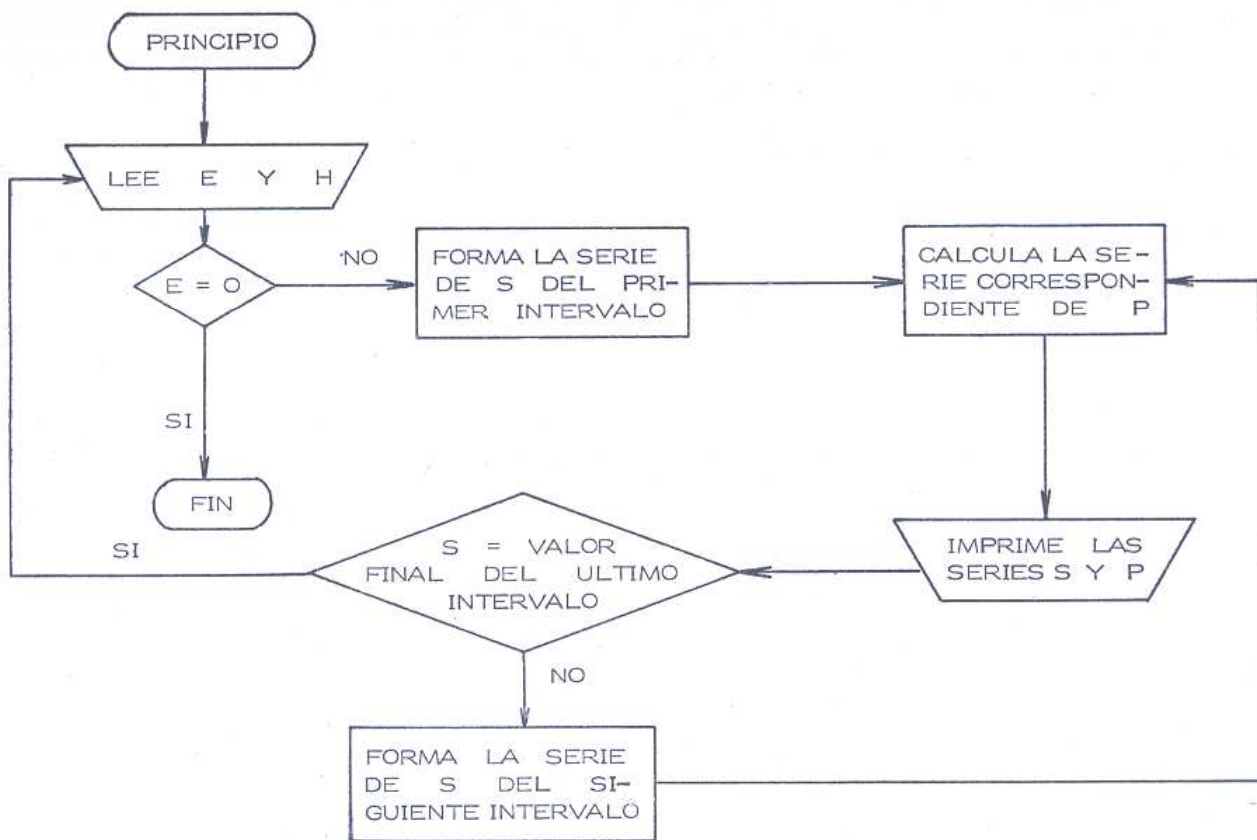


Fig. 2  
DIAGRAMA DE FLUJO SIMPLIFICADO  
DEL PROGRAMA PENDIENTES

Agradezco al Dr. Héctor Ochoterena Fuentes,  
al Lic. Mario A. Ortiz Pérez y al Prof. Carlos  
Jaso Vega, del Instituto de Geografía de la

Universidad Nacional Autónoma de México,  
haber revisado el manuscrito y haberme hecho  
algunas sugerencias.

## TABLAS DE VALORES TEORICOS DE PENDIENTE DEL TERRENO

S	P	%	X	1: 50000				H=10M				(E/H=50000)			
				S	P	%	X	S	P	%	X	S	P	%	X
0.1	63° 26' 5"	200.000	2.0	5° 11' 39"	9.091	4.03	2° 39' 46"	4.651	6.04	1° 47' 23"	3.125				
0.2	45 0 0	100.000	2.0	4 58 11	8.696	4.04	2 36 9	4.545	6.05	1 45 44	3.077				
0.3	33 41 24	66.667	2.0	4 45 49	8.333	4.05	2 32 41	4.444	6.06	1 44 8	3.030				
0.4	26 33 54	50.000	2.0	4 34 26	8.000	4.06	2 29 22	4.348	6.07	1 42 35	2.985				
0.5	21 48 5	40.000	2.0	4 23 55	7.692	4.07	2 26 11	4.255	6.08	1 41 4	2.941				
0.6	18 26 5	33.333	2.0	4 14 11	7.407	4.08	2 23 9	4.167	6.09	1 39 37	2.899				
0.7	15 56 43	28.571	2.0	4 5 8	7.143	4.09	2 20 14	4.082	7.0	1 38 11	2.857				
0.8	14 2 10	25.000	2.0	3 56 42	6.897	5.0	2 17 26	4.000	7.01	1 36 48	2.817				
0.9	12 31 43	22.222	3.0	3 48 50	6.667	5.01	2 14 44	3.922	7.02	1 35 28	2.778				
1.0	11 18 35	20.000	3.0	3 41 28	6.452	5.02	2 12 9	3.846	7.03	1 34 9	2.740				
1.1	10 18 17	18.182	3.0	3 34 34	6.250	5.03	2 9 39	3.774	7.04	1 32 53	2.703				
1.2	9 27 44	16.667	3.0	3 28 5	6.061	5.04	2 7 15	3.704	7.05	1 31 39	2.667				
1.3	8 44 46	15.385	3.0	3 21 59	5.882	5.05	2 4 57	3.636	7.06	1 30 26	2.632				
1.4	8 7 48	14.286	3.0	3 16 13	5.714	5.06	2 2 43	3.571	7.07	1 29 16	2.597				
1.5	7 35 40	13.333	3.0	3 10 47	5.556	5.07	2 0 34	3.509	7.08	1 28 7	2.564				
1.6	7 7 31	12.500	3.0	3 5 38	5.405	5.08	1 58 29	3.448	7.09	1 27 0	2.532				
1.7	6 42 35	11.765	3.0	3 0 46	5.263	5.09	1 56 29	3.390	8.0	1 25 55	2.500				
1.8	6 20 24	11.111	3.0	2 56 8	5.128	6.0	1 54 32	3.333	8.1	1 24 51	2.469				
1.9	6 0 32	10.576	4.0	2 51 44	5.000	6.1	1 52 40	3.279	8.2	1 23 49	2.439				
2.0	5 42 39	10.000	4.0	2 47 33	4.878	6.2	1 50 51	3.226	8.3	1 22 49	2.410				
2.1	5 26 25	9.524	4.0	2 43 34	4.762	6.3	1 49 5	3.175	8.4	1 21 50	2.381				

		H=10 <sup>4</sup>				H=10 <sup>5</sup>				(E/H=5000)				
S	P	%	S	P	%	S	P	%	S	P	%	S	P	%
8.5	1° 20' 55"	2.353	19.0	0° 36' 11"	1.053	29.5	0° 23' 18"	0.678	40.0	0° 17' 11"	0.500			
9.0	1 16 22	2.022	19.5	0 35 15	1.026	30.0	0 22 55	0.667	40.5	0 16 58	0.494			
9.5	1 12 21	2.105	20.0	0 34 22	1.000	30.5	0 22 32	0.656	41.0	0 16 46	0.488			
10.0	1 8 44	2.000	20.5	0 33 32	0.976	31.0	0 22 10	0.645	41.5	0 16 34	0.482			
10.5	1 5 28	1.905	21.0	0 32 44	0.952	31.5	0 21 49	0.635	42.0	0 16 22	0.476			
11.0	1 2 29	1.818	21.5	0 31 58	0.930	32.0	0 21 29	0.625	42.5	0 16 10	0.471			
11.5	0 59 46	1.739	22.0	0 31 15	0.909	32.5	0 21 9	0.615	43.0	0 15 59	0.465			
12.0	0 57 17	1.667	22.5	0 30 33	0.889	33.0	0 20 50	0.606	43.5	0 15 48	0.460			
12.5	0 54 59	1.600	23.0	0 29 53	0.870	33.5	0 20 31	0.597	44.0	0 15 37	0.455			
13.0	0 52 53	1.538	23.5	0 29 15	0.851	34.0	0 20 13	0.588	44.5	0 15 27	0.449			
13.5	0 50 55	1.481	24.0	0 28 38	0.833	34.5	0 19 55	0.580	45.0	0 15 16	0.444			
14.0	0 49 6	1.429	24.5	0 28 3	0.816	35.0	0 19 38	0.571	45.5	0 15 6	0.440			
14.5	0 47 24	1.379	25.0	0 27 30	0.800	35.5	0 19 22	0.563	46.0	0 14 56	0.435			
15.0	0 45 57	1.333	25.5	0 26 57	0.784	36.0	0 19 5	0.556	46.5	0 14 47	0.430			
15.5	0 44 21	1.290	26.0	0 26 26	0.769	36.5	0 18 50	0.548	47.0	0 14 37	0.426			
16.0	0 42 58	1.250	26.5	0 25 56	0.755	37.0	0 18 34	0.541	47.5	0 14 28	0.421			
16.5	0 41 40	1.212	27.0	0 25 27	0.741	37.5	0 18 20	0.533	48.0	0 14 19	0.417			
17.0	0 40 26	1.176	27.5	0 25 0	0.727	38.0	0 18 5	0.526	48.5	0 14 10	0.412			
17.5	0 39 17	1.143	28.0	0 24 33	0.714	38.5	0 17 51	0.519	49.0	0 14 1	0.408			
18.0	0 38 11	1.111	28.5	0 24 7	0.702	39.0	0 17 37	0.513	49.5	0 13 53	0.404			
18.5	0 37 9	1.081	29.0	0 23 42	0.690	39.5	0 17 24	0.506	50.0	0 13 45	0.400			

S	P	%		H=10 <sup>4</sup>	%	S	P	(E/H=5000)	%	S	P	%			
				72°	0°	9°	32°	0.278	93°	0°	7°	23°	0.215		
54	0° 13' 29"	0.392		73	0	9 25	0.274	94	0	7 18	0.213	115	0	5 58	0.174
52	0 13 13	0.385		74	0	9 17	0.270	95	0	7 14	0.211	116	0	5 55	0.172
53	0 12 58	0.377		75	0	9 10	0.267	96	0	7 9	0.208	117	0	5 52	0.171
54	0 12 43	0.370		76	0	9 2	0.263	97	0	7 5	0.206	118	0	5 49	0.169
55	0 12 30	0.364		77	0	8 55	0.260	98	0	7 0	0.204	119	0	5 46	0.168
56	0 12 16	0.357		78	0	8 48	0.256	99	0	6 56	0.202	120	0	5 43	0.167
57	0 12 3	0.351		79	0	8 42	0.253	100	0	6 52	0.200	121	0	5 40	0.165
58	0 11 51	0.345		80	0	8 35	0.250	101	0	6 48	0.198	122	0	5 38	0.164
59	0 11 39	0.339		81	0	8 29	0.247	102	0	6 44	0.196	123	0	5 35	0.163
60	0 11 27	0.333		82	0	8 23	0.244	103	0	6 40	0.194	124	0	5 32	0.161
61	0 11 16	0.328		83	0	8 17	0.241	104	0	6 36	0.192	125	0	5 30	0.160
62	0 11 5	0.323		84	0	8 11	0.238	105	0	6 32	0.190	126	0	5 27	0.159
63	0 10 54	0.317		85	0	8 5	0.235	106	0	6 29	0.189	127	0	5 24	0.157
64	0 10 44	0.313		86	0	7 59	0.233	107	0	6 25	0.187	128	0	5 22	0.156
65	0 10 34	0.308		87	0	7 54	0.230	108	0	6 21	0.185	129	0	5 19	0.155
66	0 10 25	0.303		88	0	7 48	0.227	109	0	6 18	0.183	130	0	5 17	0.154
67	0 10 15	0.299		89	0	7 43	0.225	110	0	6 15	0.192	131	0	5 14	0.153
68	0 10 6	0.294		90	0	7 38	0.222	111	0	6 11	0.190	132	0	5 12	0.152
69	0 9 57	0.290		91	0	7 33	0.220	112	0	6 8	0.179	133	0	5 10	0.150
70	0 9 49	0.286		92	0	7 28	0.217	113	0	6 5	0.177	134	0	5 7	0.149
71	0 9 41	0.282													

S	P	%	1: 50000			H=10M			(E/H=50000)			S			P			%		
			S	P	%	S	P	%	S	P	%	S	P	%	S	P	%	S	P	%
140	0°	4°54'3	0.143	350	0° 1°57'3	0.057	560	0° 1°13'3	0.036	770	0° 0°53'3	0.026								
150	0	4 35	0.133	360	0 1 54	0.056	570	0 1 12	0.035	780	0 0 52	0.026								
160	0	4 17	0.125	370	0 1 51	0.054	580	0 1 11	0.034	790	0 0 52	0.025								
170	0	4 2	0.118	380	0 1 48	0.053	590	0 1 9	0.034	800	0 0 51	0.025								
180	0	3 49	0.111	390	0 1 45	0.051	600	0 1 8	0.033	810	0 0 50	0.025								
190	0	3 37	0.105	400	0 1 43	0.050	610	0 1 7	0.033	820	0 0 50	0.024								
200	0	3 26	0.100	410	0 1 40	0.049	620	0 1 6	0.032	830	0 0 49	0.024								
210	0	3 16	0.095	420	0 1 38	0.048	630	0 1 5	0.032	840	0 0 49	0.024								
220	0	3 7	0.091	430	0 1 35	0.047	640	0 1 4	0.031	850	0 0 48	0.024								
230	0	2 59	0.087	440	0 1 33	0.045	650	0 1 3	0.031	860	0 0 47	0.023								
240	0	2 51	0.083	450	0 1 31	0.044	660	0 1 2	0.030	870	0 0 47	0.023								
250	0	2 45	0.080	460	0 1 29	0.043	670	0 1 1	0.030	880	0 0 46	0.023								
260	0	2 39	0.077	470	0 1 27	0.043	680	0 1 0	0.029	890	0 0 46	0.022								
270	0	2 32	0.074	480	0 1 25	0.042	690	0 0 59	0.029	900	0 0 45	0.022								
280	0	2 27	0.071	490	0 1 24	0.041	700	0 0 58	0.029	910	0 0 45	0.022								
290	0	2 22	0.069	500	0 1 22	0.040	710	0 0 58	0.028	920	0 0 44	0.022								
300	0	2 17	0.067	510	0 1 20	0.039	720	0 0 57	0.028	930	0 0 44	0.022								
310	0	2 13	0.065	520	0 1 19	0.038	730	0 0 56	0.027	940	0 0 43	0.021								
320	0	2 9	0.063	530	0 1 17	0.038	740	0 0 55	0.027	950	0 0 43	0.021								
330	0	2 5	0.061	540	0 1 16	0.037	750	0 0 55	0.027	960	0 0 42	0.021								
340	0	2 1	0.059	550	0 1 15	0.036	760	0 0 54	0.026	970	0 0 42	0.021								

S	P	%																	%
1: 50000	H=20M	%	S	P	%	S	P	%	S	P	%	S	P	%	S	P	%	%	
0.0.1	75° 57' 49"	400.000	2.0.2	10° 18' 17"	18.182	4.0.3	5° 18' 52"	9.302	6.0.4	3° 34' 34"	6.250								
0.0.2	63 26 5	290.000	2.0.3	9 51 56	17.391	4.0.4	5 11 39	9.091	6.0.5	3 31 17	6.154								
0.0.3	53 7 48	133.333	2.0.4	9 27 44	16.667	4.0.5	5 4 46	8.889	6.0.6	3 28 5	6.061								
0.0.4	45 0 0	100.000	2.0.5	9 5 24	16.000	4.0.6	4 58 11	8.696	6.0.7	3 24 59	5.970								
0.0.5	38 39 35	80.000	2.0.6	8 44 46	15.385	4.0.7	4 51 52	8.511	6.0.8	3 21 59	5.882								
0.0.6	33 41 24	66.667	2.0.7	8 25 37	14.815	4.0.8	4 45 49	8.333	6.0.9	3 19 4	5.797								
0.0.7	29 44 41	57.143	2.0.8	8 7 48	14.286	4.0.9	4 40 0	8.163	7.0.0	3 16 13	5.714								
0.0.8	26 33 54	50.000	2.0.9	7 51 11	13.793	5.0.0	4 34 26	8.000	7.0.1	3 13 28	5.634								
0.0.9	23 57 44	44.444	3.0.0	7 35 40	13.333	5.0.1	4 29 4	7.843	7.0.2	3 10 47	5.556								
1.0.0	21 48 5	40.000	3.0.1	7 21 8	12.903	5.0.2	4 23 55	7.692	7.0.3	3 8 10	5.479								
1.1.1	19 58 59	36.364	3.0.2	7 7 30	12.500	5.0.3	4 18 57	7.547	7.0.4	3 5 38	5.405								
1.1.2	18 26 5	33.333	3.0.3	6 54 40	12.121	5.0.4	4 14 11	7.407	7.0.5	3 3 10	5.333								
1.1.3	17 6 9	30.769	3.0.4	6 42 35	11.765	5.0.5	4 9 34	7.273	7.0.6	3 0 46	5.263								
1.1.4	15 56 43	28.571	3.0.5	6 31 11	11.429	5.0.6	4 5 8	7.143	7.0.7	2 58 25	5.195								
1.1.5	14 55 53	26.667	3.0.6	6 20 24	11.111	5.0.7	4 0 51	7.018	7.0.8	2 56 8	5.128								
1.0.6	14 2 10	25.000	3.0.7	6 10 12	10.811	5.0.8	3 56 42	6.897	7.0.9	2 53 54	5.063								
1.0.7	13 14 25	23.529	3.0.8	6 0 32	10.526	5.0.9	3 52 42	6.780	8.0.0	2 51 44	5.000								
1.0.8	12 31 43	22.222	3.0.9	5 51 21	10.256	6.0.0	3 48 50	6.667	8.0.1	2 49 37	4.938								
1.0.9	11 53 19	21.053	4.0.0	5 42 38	10.000	6.0.1	3 45 6	6.557	8.0.2	2 47 33	4.878								
2.0.0	11 18 35	20.000	4.0.1	5 34 19	9.756	6.0.2	3 41 28	6.452	8.0.3	2 45 32	4.819								
2.0.1	10 47 3	19.048	4.0.2	5 26 25	9.524	6.0.3	3 37 58	6.349	8.0.4	2 43 34	4.762								

1: 50000				H=20M				(E/H=2500)				(E/H=22")			
S	P	%	S	P	%	S	P	%	S	P	%	S	P	%	%
8.5	2° 41' 39"	4.706	19.0	1° 12' 21"	2.105	29.5	0° 46' 36"	1.356	40.0	0° 34' 22"	1.000				
9.0	2 32 41	4.444	19.5	1 10 30	2.051	30.0	0 45 50	1.333	40.5	0 33 57	0.988				
9.5	2 24 39	4.211	20.0	1 8 44	2.000	30.5	0 45 4	1.311	41.0	0 33 32	0.976				
10.0	2 17 26	4.000	20.5	1 7 4	1.951	31.0	0 44 21	1.290	41.5	0 33 8	0.964				
10.5	2 10 53	3.810	21.0	1 5 28	1.905	31.5	0 43 39	1.270	42.0	0 32 44	0.952				
11.0	2 4 57	3.636	21.5	1 3 57	1.860	32.0	0 42 58	1.250	42.5	0 32 21	0.941				
11.5	1 59 31	3.478	22.0	1 2 29	1.818	32.5	0 42 18	1.231	43.0	0 31 58	0.930				
12.0	1 54 32	3.333	22.5	1 1 6	1.778	33.0	0 41 40	1.212	43.5	0 31 36	0.920				
12.5	1 49 59	3.200	23.0	0 59 46	1.739	33.5	0 41 2	1.194	44.0	0 31 15	0.909				
13.0	1 45 44	3.077	23.5	0 53 30	1.702	34.0	0 40 26	1.176	44.5	0 30 54	0.899				
13.5	1 41 49	2.963	24.0	0 57 17	1.667	34.5	0 39 51	1.159	45.0	0 30 33	0.889				
14.0	1 38 11	2.857	24.5	0 56 7	1.633	35.0	0 39 17	1.143	45.5	0 30 13	0.879				
14.5	1 34 48	2.759	25.0	0 54 59	1.600	35.5	0 38 44	1.127	46.0	0 29 53	0.870				
15.0	1 31 39	2.667	25.5	0 53 55	1.569	36.0	0 38 11	1.111	46.5	0 29 34	0.860				
15.5	1 28 41	2.581	26.0	0 52 53	1.538	36.5	0 37 40	1.096	47.0	0 29 15	0.851				
16.0	1 25 55	2.500	26.5	0 51 53	1.509	37.0	0 37 9	1.081	47.5	0 28 56	0.842				
16.5	1 23 19	2.424	27.0	0 50 55	1.481	37.5	0 36 40	1.067	48.0	0 28 38	0.833				
17.0	1 20 55	2.353	27.5	0 50 0	1.455	38.0	0 36 11	1.053	48.5	0 28 21	0.825				
17.5	1 18 33	2.286	28.0	0 49 6	1.429	38.5	0 35 42	1.039	49.0	0 28 3	0.816				
18.0	1 16 22	2.222	28.5	0 48 14	1.404	39.0	0 35 15	1.026	49.5	0 27 46	0.808				
18.5	1 14 19	2.162	29.0	0 47 24	1.379	39.5	0 34 48	1.013	50.0	0 27 30	0.800				

S	P	11 50000		H=20W		(E/H=2500)		S		P		%
		S	P	S	P	S	P	S	P	S	P	%
51	0° 26' 57"	0.784	72	0° 19' 5"	0.556	93	0° 14' 47"	0.430	114	0° 12' 3"	0.351	
52	0 26 56	0.769	73	0 18 50	0.548	94	0 14 37	0.426	115	0 11 57	0.348	
53	0 25 56	0.755	74	0 18 34	0.541	95	0 14 28	0.421	116	0 11 51	0.345	
54	0 25 77	0.741	75	0 18 20	0.533	96	0 14 19	0.417	117	0 11 45	0.342	
55	0 25 9	0.727	76	0 18 5	0.526	97	0 14 10	0.412	118	0 11 39	0.339	
56	0 24 33	0.714	77	0 17 51	0.519	98	0 14 1	0.408	119	0 11 33	0.336	
57	0 24 7	0.702	78	0 17 37	0.513	99	0 13 53	0.404	120	0 11 27	0.333	
58	0 23 42	0.690	79	0 17 24	0.506	100	0 13 45	0.400	121	0 11 21	0.331	
59	0 23 18	0.678	80	0 17 11	0.500	101	0 13 36	0.396	122	0 11 16	0.328	
60	0 22 55	0.667	81	0 16 58	0.494	102	0 13 28	0.392	123	0 11 10	0.325	
61	0 22 32	0.656	82	0 16 46	0.488	103	0 13 21	0.388	124	0 11 5	0.323	
62	0 22 10	0.645	83	0 16 34	0.482	104	0 13 13	0.385	125	0 11 0	0.320	
63	0 21 49	0.635	84	0 16 22	0.476	105	0 13 5	0.381	126	0 10 54	0.317	
64	0 21 29	0.625	85	0 16 10	0.471	106	0 12 58	0.377	127	0 10 49	0.315	
65	0 21 9	0.615	86	0 15 59	0.465	107	0 12 51	0.374	128	0 10 44	0.313	
66	0 20 50	0.606	87	0 15 48	0.460	108	0 12 43	0.370	129	0 10 39	0.310	
67	0 20 31	0.597	88	0 15 37	0.455	109	0 12 36	0.367	130	0 10 34	0.308	
68	0 20 13	0.588	89	0 15 27	0.449	110	0 12 30	0.364	131	0 10 29	0.305	
69	0 19 55	0.580	90	0 15 16	0.444	111	0 12 23	0.360	132	0 10 25	0.303	
70	0 19 38	0.571	91	0 15 6	0.440	112	0 12 16	0.357	133	0 10 20	0.301	
71	0 19 22	0.563	92	0 14 56	0.435	113	0 12 10	0.354	134	0 10 15	0.299	

S	P	1: 50000		H=20M		S		(E/H=2500)		S		P		% %	
		S	P	S	P	S	P	S	P	S	P	S	P	%	%
140	0° 9° 49°	0.286		350	0° 3° 55°	0.114		560	0° 2° 27°	0.071		770	0° 1° 47°	0.052	
150	0 9 10	0.267		360	0 3 49	0.111		570	0 2 24	0.070		780	0 1 45	0.051	
160	0 8 35	0.250		370	0 3 42	0.108		580	0 2 22	0.069		790	0 1 44	0.051	
170	0 8 5	0.235		380	0 3 37	0.105		590	0 2 19	0.068		800	0 1 43	0.050	
180	0 7 38	0.222		390	0 3 31	0.103		600	0 2 17	0.067		810	0 1 41	0.049	
190	0 7 14	0.211		400	0 3 26	0.100		610	0 2 15	0.066		820	0 1 40	0.049	
200	0 6 52	0.200		410	0 3 21	0.098		620	0 2 13	0.065		830	0 1 39	0.048	
210	0 6 32	0.190		420	0 3 16	0.095		630	0 2 10	0.063		840	0 1 38	0.046	
220	0 6 15	0.182		430	0 3 11	0.093		640	0 2 8	0.063		850	0 1 37	0.047	
230	0 5 53	0.174		440	0 3 7	0.091		650	0 2 6	0.062		860	0 1 35	0.047	
240	0 5 43	0.167		450	0 3 3	0.089		660	0 2 5	0.061		870	0 1 34	0.046	
250	0 5 37	0.160		460	0 2 59	0.087		670	0 2 3	0.060		880	0 1 33	0.045	
260	0 5 17	0.154		470	0 2 55	0.085		680	0 2 1	0.059		890	0 1 32	0.045	
270	0 5 5	0.149		480	0 2 51	0.083		690	0 1 59	0.058		900	0 1 31	0.044	
280	0 4 54	0.143		490	0 2 48	0.082		700	0 1 57	0.057		910	0 1 30	0.044	
290	0 4 44	0.138		500	0 2 45	0.080		710	0 1 56	0.056		920	0 1 29	0.043	
300	0 4 35	0.133		510	0 2 41	0.078		720	0 1 54	0.056		930	0 1 28	0.043	
310	0 4 25	0.129		520	0 2 33	0.077		730	0 1 53	0.055		940	0 1 27	0.043	
320	0 4 17	0.125		530	0 2 35	0.075		740	0 1 51	0.054		950	0 1 26	0.042	
330	0 4 10	0.121		540	0 2 32	0.074		750	0 1 50	0.053		960	0 1 25	0.042	
340	0 4 2	0.118		550	0 2 30	0.073		760	0 1 48	0.053		970	0 1 25	0.041	

1:1000000						H=50M						(E/H=20000)					
S	P	%	S	P	%	S	P	%	S	P	%	S	P	%	S	P	%
0.1	78° 41' 24" 500.000		2.0	12° 48' 15" 22.727		4.0	6° 37' 57" 11.628		6.0	4° 28' 1" 7.812							
0.2	68 11 54 250.000		2.0	12 15 53 21.739		4.0	6 28 59 11.364		6.0	4 23 55 7.692							
0.3	59 2 10 166.667		2.0	11 46 5 20.833		4.0	6 20 24 11.111		6.0	4 19 56 7.576							
0.4	51 20 24 125.000		2.0	11 18 35 20.000		4.0	6 12 12 10.870		6.0	4 16 4 7.463							
0.5	45 0 0 100.000		2.0	10 53 7 19.231		4.0	6 4 20 10.638		6.0	4 12 19 7.353							
0.6	39 48 20 83.333		2.0	10 29 29 18.519		4.0	5 56 48 10.417		6.0	4 8 40 7.246							
0.7	35 32 15 71.429		2.0	10 7 28 17.857		4.0	5 49 34 10.204		7.0	4 5 8 7.143							
0.8	32 0 19 62.500		2.0	9 46 56 17.241		5.0	5 42 38 10.000		7.0	4 1 41 7.042							
0.9	29 3 16 55.556		3.0	9 27 44 16.667		5.0	5 35 57 9.804		7.0	3 58 20 6.944							
1.0	26 33 54 50.000		3.0	9 9 44 16.129		5.0	5 29 32 9.615		7.0	3 55 5 6.849							
1.1	24 26 38 45.455		3.0	8 52 50 15.625		5.0	5 23 21 9.434		7.0	3 51 55 6.757							
1.2	22 37 11 41.667		3.0	8 36 56 15.152		5.0	5 17 24 9.259		7.0	3 48 50 6.667							
1.3	21 2 15 38.462		3.0	8 21 57 14.706		5.0	5 11 39 9.091		7.0	3 45 50 6.579							
1.4	19 39 13 35.714		3.0	8 7 48 14.286		5.0	5 6 7 8.929		7.0	3 42 55 6.494							
1.5	18 26 5 33.333		3.0	7 54 25 13.889		5.0	5 0 47 8.772		7.0	3 40 4 6.410							
1.6	17 21 14 31.250		3.0	7 41 45 13.514		5.0	4 55 37 8.621		7.0	3 37 17 6.329							
1.7	16 23 22 29.412		3.0	7 29 45 13.158		5.0	4 50 38 8.475		8.0	3 34 34 6.250							
1.8	15 31 26 27.778		3.0	7 18 20 12.821		6.0	4 45 49 8.333		8.0	3 31 56 6.173							
1.9	14 44 36 26.316		4.0	7 7 30 12.500		6.0	4 41 9 8.197		8.0	3 29 21 6.098							
2.0	14 2 10 25.000		4.0	6 57 10 12.195		6.0	4 36 38 8.065		8.0	3 26 50 6.024							
2.1	13 23 32 23.810		4.0	6 47 20 11.905		6.0	4 32 15 7.937		8.0	3 24 23 5.951							

S	P	%	1:100000			H=50M			(E/H=2000)			S	P	%	1:100000			H=50M			(E/H=2000)			S	P	%
			S	P	%	S	P	%	S	P	%				S	P	%	S	P	%	S	P	%			
8.5	3° 21' 59"	5.882	19.0	1° 30' 26"	2.632	29.5	0° 58' 15"	1.695	40.0	0° 42' 58"	1.250															
9.0	3 10 47	5.556	19.5	1 23 7	2.564	30.0	0 57 17	1.667	40.5	0 42 26	1.235															
9.5	3 0 46	5.263	20.0	1 25 55	2.500	30.5	0 56 21	1.639	41.0	0 41 55	1.220															
10.0	2 51 44	5.000	20.5	1 23 49	2.439	31.0	0 55 26	1.613	41.5	0 41 24	1.205															
10.5	2 43 34	4.762	21.0	1 21 50	2.381	31.5	0 54 33	1.587	42.0	0 40 55	1.190															
11.0	2 36 9	4.545	21.5	1 19 55	2.326	32.0	0 53 42	1.563	42.5	0 40 26	1.176															
11.5	2 29 22	4.348	22.0	1 18 7	2.273	32.5	0 52 53	1.538	43.0	0 39 58	1.163															
12.0	2 23 9	4.167	22.5	1 16 22	2.222	33.0	0 52 4	1.515	43.5	0 39 30	1.149															
12.5	2 17 26	4.000	23.0	1 14 43	2.174	33.5	0 51 18	1.493	44.0	0 39 3	1.136															
13.0	2 12 9	3.846	23.5	1 13 7	2.128	34.0	0 50 33	1.471	44.5	0 38 37	1.124															
13.5	2 7 15	3.704	24.0	1 11 36	2.083	34.5	0 49 49	1.449	45.0	0 38 11	1.111															
14.0	2 2 43	3.571	24.5	1 10 8	2.041	35.0	0 49 6	1.429	45.5	0 37 46	1.099															
14.5	1 58 29	3.448	25.0	1 8 44	2.000	35.5	0 48 24	1.408	46.0	0 37 21	1.087															
15.0	1 54 32	3.333	25.5	1 7 23	1.961	36.0	0 47 44	1.389	46.5	0 36 57	1.075															
15.5	1 50 51	3.226	26.0	1 6 6	1.923	36.5	0 47 5	1.370	47.0	0 36 34	1.064															
16.0	1 47 23	3.030	26.5	1 4 51	1.887	37.0	0 46 27	1.351	47.5	0 36 11	1.053															
16.5	1 44 8	2.857	27.0	1 3 39	1.852	37.5	0 45 50	1.333	48.0	0 35 48	1.042															
17.0	1 41 4	2.901	27.5	1 2 29	1.818	38.0	0 45 13	1.316	48.5	0 35 26	1.031															
17.5	1 38 11	2.857	28.0	1 1 22	1.786	38.5	0 44 38	1.299	49.0	0 35 4	1.020															
18.0	1 35 28	2.778	28.5	1 0 18	1.754	39.0	0 44 4	1.282	49.5	0 34 43	1.010															
18.5	1 32 53	2.703	29.0	0 59 15	1.724	39.5	0 43 30	1.266	50.0	0 34 22	1.000															

S	P	%	1:100000		H=50M		(E/H=20000)		S		P		%
			S	P	S	P	S	P	S	P	S	P	%
51	0° 33' 42"	0.980	72	0° 23' 52"	0.694	93	0° 18' 28"	0.538	114	0° 15' 4"	0.439		
52	0 33 3	0.962	73	0 23 32	0.685	94	0 18 17	0.532	115	0 14 56	0.435		
53	0 32 25	0.943	74	0 23 13	0.676	95	0 18 5	0.526	116	0 14 49	0.431		
54	0 31 49	0.926	75	0 22 55	0.667	96	0 17 54	0.521	117	0 14 41	0.427		
55	0 31 15	0.909	76	0 22 36	0.658	97	0 17 43	0.515	118	0 14 33	0.424		
56	0 30 41	0.893	77	0 22 19	0.649	98	0 17 32	0.510	119	0 14 26	0.420		
57	0 30 9	0.877	78	0 22 2	0.641	99	0 17 21	0.505	120	0 14 19	0.417		
58	0 29 38	0.862	79	0 21 45	0.633	100	0 17 11	0.500	121	0 14 12	0.413		
59	0 29 7	0.847	80	0 21 29	0.625	101	0 17 1	0.495	122	0 14 5	0.410		
60	0 28 38	0.833	81	0 21 13	0.617	102	0 16 51	0.490	123	0 13 58	0.407		
61	0 28 10	0.820	82	0 20 57	0.610	103	0 16 41	0.485	124	0 13 51	0.403		
62	0 27 43	0.806	83	0 20 42	0.602	104	0 16 31	0.481	125	0 13 45	0.400		
63	0 27 16	0.794	84	0 20 27	0.595	105	0 16 22	0.476	126	0 13 38	0.397		
64	0 26 51	0.781	85	0 20 13	0.588	106	0 16 12	0.472	127	0 13 32	0.394		
65	0 26 26	0.769	86	0 19 59	0.581	107	0 16 3	0.467	128	0 13 25	0.391		
66	0 26 2	0.758	87	0 19 45	0.575	108	0 15 54	0.463	129	0 13 19	0.388		
67	0 25 39	0.746	88	0 19 31	0.568	109	0 15 46	0.459	130	0 13 13	0.385		
68	0 25 16	0.735	89	0 19 18	0.562	110	0 15 37	0.455	131	0 13 7	0.382		
69	0 24 54	0.725	90	0 19 5	0.556	111	0 15 29	0.450	132	0 13 1	0.379		
70	0 24 33	0.714	91	0 18 53	0.549	112	0 15 20	0.446	133	0 12 55	0.376		
71	0 24 12	0.704	92	0 18 40	0.543	113	0 15 12	0.442	134	0 12 49	0.373		

S	P	%	1:1000000			H=504			(E/H=20000)			S	P	%
			S	P	%	S	P	%	S	P	%			
140	0° 12' 16")	0.357	350	0° 4' 54")	0.143	560	0° 3' 4")	0.089	770	0° 2' 13")	0.065			
150	0 11 27	0.333	360	0 4 46	0.139	570	0 3 0	0.088	780	0 2 12	0.064			
160	0 10 44	0.313	370	0 4 38	0.135	580	0 2 57	0.086	790	0 2 10	0.063			
170	0 10 6	0.294	380	0 4 31	0.132	590	0 2 54	0.085	800	0 2 8	0.063			
180	0 9 32	0.278	390	0 4 24	0.128	600	0 2 51	0.083	810	0 2 7	0.062			
190	0 9 2	0.263	400	0 4 17	0.125	610	0 2 49	0.082	820	0 2 5	0.061			
200	0 8 35	0.250	410	0 4 11	0.122	620	0 2 46	0.081	830	0 2 4	0.060			
210	0 8 11	0.238	420	0 4 5	0.119	630	0 2 43	0.079	840	0 2 2	0.060			
220	0 7 48	0.227	430	0 3 59	0.116	640	0 2 41	0.078	850	0 2 1	0.059			
230	0 7 28	0.217	440	0 3 54	0.114	650	0 2 38	0.077	860	0 1 59	0.058			
240	0 7 9	0.203	450	0 3 49	0.111	660	0 2 36	0.076	870	0 1 58	0.057			
250	0 6 52	0.200	460	0 3 44	0.109	670	0 2 33	0.075	880	0 1 57	0.057			
260	0 6 36	0.192	470	0 3 39	0.106	680	0 2 31	0.074	890	0 1 55	0.056			
270	0 6 21	0.185	480	0 3 34	0.104	690	0 2 29	0.072	900	0 1 54	0.056			
280	0 6 8	0.179	490	0 3 30	0.102	700	0 2 27	0.071	910	0 1 53	0.055			
290	0 5 55	0.172	500	0 3 26	0.100	710	0 2 25	0.070	920	0 1 52	0.054			
300	0 5 43	0.167	510	0 3 22	0.098	720	0 2 23	0.069	930	0 1 50	0.054			
310	0 5 32	0.161	520	0 3 18	0.096	730	0 2 21	0.068	940	0 1 49	0.053			
320	0 5 22	0.156	530	0 3 14	0.094	740	0 2 19	0.068	950	0 1 48	0.053			
330	0 5 12	0.152	540	0 3 10	0.093	750	0 2 17	0.067	960	0 1 47	0.052			
340	0 5 3	0.147	550	0 3 7	0.091	760	0 2 15	0.066	970	0 1 46	0.052			